



UNIVERSIDAD AUTÓNOMA DE SAN LUIS POTOSÍ



FACULTAD DE CIENCIAS

**ARISTA-COLORACIONES ACÍCLICAS EN  
GRÁFICAS 4-REGULARES 4-CONEXAS  
 $K_{1,3}$ -LIBRES**

TESIS

PARA OBTENER EL GRADO DE

**MAESTRA EN CIENCIAS APLICADAS**

PRESENTA

**LME NANCY JAZMÍN PÉREZ ORTIZ**

DIRECTOR DE TESIS

**DR. CÉSAR ISRAEL HERNÁNDEZ VÉLEZ**

SAN LUIS POTOSÍ, SLP

AGOSTO 2021

# TESIS DE MAESTRÍA

## ARISTA-COLORACIONES ACÍCLICAS EN GRÁFICAS 4-REGULARES 4-CONEXAS $K_{1,3}$ -LIBRES

---

Tesis que presenta:

**LME Nancy Jazmín Pérez Ortiz**

---

Comité que acepta la tesis:

---

Dr. César Israel Hernández Vélez

Asesor de tesis

---

Dr. Lev Glebsky

Sinodal

---

Dr. Gelasio Salazar Anaya

Sinodal

---

Dr. Edgardo Ugalde Saldaña

Sinodal

Agosto 2021

# Declaración de autoría y originalidad de la tesis

Yo, Nancy Jazmín Pérez Ortiz, estudiante del Posgrado en Ciencias Aplicadas de la Facultad de Ciencias de la Universidad Autónoma de San Luis Potosí, como autora de la tesis «Arista-coloraciones acíclicas en gráficas 4-regulares 4-conexas  $K_{1,3}$ -libre», declaro que la tesis es una obra original, inédita, auténtica, personal, que se han citado las fuentes correspondientes y que en su ejecución se respetaron las disposiciones legales vigentes que protegen los derechos de autor y de propiedad intelectual e industrial. Las ideas, doctrinas, resultados y conclusiones a los que he llegado son de mi absoluta responsabilidad.

# Resumen

Una arista-coloración de una gráfica simple  $G$  es una asignación de colores a las aristas de la gráfica tal que no haya dos aristas adyacentes con el mismo color. La arista-coloración es acíclica si la subgráfica inducida por cualesquiera dos clases de colores es un bosque lineal (una gráfica acíclica con grado máximo 2). En este trabajo estudiaremos arista-coloraciones acíclicas en gráficas 4-regulares, 4-conexas  $K_{1,3}$ -libre. Esta familia de gráficas se clasifica en 3 clases, denominadas  $\mathcal{G}_0$ ,  $\mathcal{G}_1$  y  $\mathcal{G}_2$ . Determinamos el índice cromático acíclico (el menor número de colores necesarios para un arista-coloración acíclica) para cada clase en la familia, mostrando una técnica para encontrar la arista-coloración acíclica.

# Abstract

An edge-coloring of a simple graph  $G$  is an assignment of colors to each edge of the graph such that no adjacent edges have the same color. The edge-coloring of a graph is acyclic if the subgraph induced by any two color classes is a linear forest (an acyclic graph with maximum degree equals to 2). In this work we study acyclic edge-coloring in 4-connected 4-regular  $K_{1,3}$ -free graphs. This family has been classified in 3 classes, named  $\mathcal{G}_0$ ,  $\mathcal{G}_1$  and  $\mathcal{G}_2$ . We determine the acyclic chromatic index (the least number of colors in an acyclic edge-coloring) for every class in the family, showing a technique to find the acyclic edge-coloring.

# Agradecimientos

Agradezco al CONACYT por el apoyo económico brindado durante la realización de esta maestría. Al posgrado en Ciencias Aplicadas de la Facultad de Ciencias de la Universidad Autónoma de San Luis Potosí, así como a todos los profesores que estuvieron conmigo a lo largo de los dos años que tuve clases, sobre todo a Edgardo Ugalde. Agradezco a mi director de tesis, el Dr. César Israel Hernández Vélez, por su paciencia, confianza, orientación y apoyo que contribuyó de manera fundamental a que esta tesis llegara a buen término. Finalmente, agradezco a mi mamá, María Guadalupe Ortiz Sosa, a mi hermana Cristal Pérez Ortiz y a mi esposo Christian Abel Contreras Hernández, quienes fueron y son mi soporte, no solo en el ámbito académico pero que me han ayudado de forma sustancial en el mismo. ¡Gracias a todos!

# Índice general

<b>1. Introducción</b>	<b>1</b>
<b>2. Preliminares</b>	<b>4</b>
<b>3. Arista-coloración acíclica</b>	<b>9</b>
3.1. Gráficas 4-conexas, 4-regulares, $K_{1,3}$ -libres . . . . .	9
3.2. Arista-coloración acíclica . . . . .	12
3.3. Arista-coloraciones propias acíclicas en gráficas de $\mathcal{G}_0$ . . . . .	12
3.4. Arista-coloraciones propias acíclicas en gráficas de $\mathcal{G}_1$ . . . . .	20
3.5. Arista-coloraciones propias acíclicas en gráficas de $\mathcal{G}_2$ . . . . .	32
<b>Bibliografía</b>	<b>39</b>

# Capítulo 1

## Introducción

La teoría de coloración de gráficas tiene una posición central en matemáticas discretas, en la cual han surgido diversos problemas que incorporan el análisis tanto geométrico como algebraico de los mismos y aunque muchos problemas han sido resueltos de manera satisfactoria, otros en cambio siguen sin resolverse. Se han encontrado errores en algunos de los problemas en coloraciones que se creyeron resueltos, por lo que después surgieron demostraciones que sí pudieron ser verificadas.

Los primeros resultados sobre las coloraciones eran sólo para gráficas planares. Los originó uno de los problemas más importantes del área, la Conjetura de los 4 colores, propuesta por Francis Guthrie en 1852, la cual establece que “es posible colorear las regiones de una gráfica plana sólo con 4 colores, tal que dos regiones adyacentes tengan colores diferentes”. Después de muchas pruebas y contraejemplos falsos [5], esta conjetura se convirtió en el Teorema de los 4 colores, al ser demostrado por Kenneth Appel y Wolfgang Haken en 1976, mediante el uso de herramientas computacionales. Algunos matemáticos no aceptaban la demostración debido a su naturaleza, pero poco a poco ha adquirido aprobación entre la comunidad científica. Este teorema tiene aplicaciones en cartografía [11].

Recordemos que una arista-coloración (vértice-coloración) de una gráfica asigna a dos aristas (vértices, respectivamente) adyacentes colores diferentes. El número mínimo de colores requeridos para obtener una arista-coloración (vértice-, respectivamente) es llamado índice (número, respectivamente) cromático, denotado por  $\chi'$  ( $\chi$ , respectivamente). Por el Teorema de Vizing sabemos que  $\Delta \leq \chi' \leq \Delta + 1$ , donde  $\Delta$  es el grado máximo de la gráfica. Por lo tanto, podemos clasificar las gráficas en dos clases: i) las que tienen índice cromático igual a  $\Delta$ , y ii) las que tienen índice cromático igual a  $\Delta + 1$ . Este teorema es de vital importancia para el estudio de coloraciones, incluso tiene aplicaciones en vértice-coloraciones [15]. Además, para multigráficas este teorema establece que el índice cromático está dado por  $\Delta \leq \chi' \leq \Delta + \mu$ , donde  $\mu$  representa la máxima multiplicidad (el mayor número de aristas entre dos vértices) de la gráfica. El Teorema de Vizing fue inspirado en el trabajo previo de Claude Shannon, quien demostró que para cualquier multigráfica  $\chi' \leq \frac{3}{2}\Delta$  [20]. El problema de encontrar el índice cromático es NP-completo [12].

Las arista-coloraciones tienen importantes aplicaciones en frecuencias, recorridos en ciudades, caminos, entre otros. Además proporciona las bases para un estudio más amplio dentro del área como las arista-coloraciones fuertes [4], y la Teoría de Ramsey [13]. La cuestión de asignar colores a una gráfica ha sido estudiada como un problema algorítmico desde principios de los 70: el problema de encontrar el número cromático es uno de los 21 problemas NP-completos de Karp [14], los cuales se encuentran dentro del área de la teoría de complejidad computacional y que han sido estudiados por algunos autores como Jerzy A. Filar, Michael Haythorpe y Richard Taylor [8].

Decimos que una arista-coloración es acíclica si cada ciclo tiene al menos 3 colores. El número mínimo de colores requerido para obtener una arista-coloración acíclica es llamado índice cromático acíclico y denotado por  $a'$ . Observemos que  $a' \geq \chi' \geq \Delta$  [7]. En este trabajo nos enfocaremos en las arista-coloraciones acíclicas. Hay varias aplicaciones de las coloraciones acíclicas de una gráfica que incluyen el cálculo hessiano, aplicaciones en la teoría de la codificación, así como otros problemas teóricos.

Noga Alon, Colin McDiarmid y Bruce Reed [2] hicieron la siguiente conjetura respecto a arista-coloraciones acíclicas.

**Conjetura 1** (N. Alon, B. Sudakov y A. Zaks [2]). *Cada gráfica simple con grado máximo  $\Delta$  tiene una  $(\Delta + 2)$ -arista-coloración propia acíclica.*

En el artículo donde aparece esta conjetura, se probó que la conjetura es cierta para gráficas con cuello por lo menos  $C\Delta \log(\Delta)$ , para una constante  $C$ , y para casi todas las gráficas  $\Delta$ -regulares. Las cotas respecto a esta conjetura han mejorado, y uno de los primeros resultados al respecto es de Noga Alon, Colin McDiarmid y Bruce Reed [1] quienes, utilizando métodos probabilísticos, probaron que  $a'(G) \leq 64\Delta$ , para cualquier gráfica  $G$ . Este resultado fue mejorado por Michael Molloy y Bruce Reed [16] quienes demostraron que  $a'(G) \leq 16\Delta$ . Sokol Ndreca, Aldo Procacci y Benedetto Scoppola [17] probaron que  $a'(G) \leq \lceil 9.62(\Delta - 1) \rceil$ . Louis Espenet y Aline Parreau [6] demostraron que  $a'(G) \leq 4\Delta$ . Ioannis Giotis, Lefteris Kirousis, Kostas I. Psaromiligkos y Dimitrios M. Thilikos [10] establecieron que  $a' \leq \lceil 3.74(\Delta - 1) \rceil + 1$ .

Como es recurrente ante una conjetura, los esfuerzos se centran en familias particulares de gráficas para establecer estrategias que permitan determinar el índice cromático acíclico y tratar de extender las técnicas a otras familias. En este sentido, Manu Basavaraju y L. Sunil Chadran [3] probaron que la conjetura se cumple para gráficas conexas con  $\Delta \leq 4$ . Recientemente, Weifan Wang, Yulai Ma, Oiaojun Shu y Yiquiao Wang [21, 25] demostraron la conjetura para gráficas 4-regulares. Por otro lado, de manera reciente se probó que  $a'(G) \leq 12$  para  $\Delta = 7$  por Juan Wang, Lianying Miao, Wenyao Song y Yunlong Liu [24].

Nuestro interés es determinar el índice cromático acíclico de las gráficas 4-regulares, 4-conexas,  $K_{1,3}$ -libre (es decir, sin  $K_{1,3}$  como subgráfica inducida), ya que Michel Plummer [18] clasificó a esta familia en 3 clases, llamadas  $\mathcal{G}_0$ ,  $\mathcal{G}_1$  y  $\mathcal{G}_2$ . Posteriormente, Trevor J. Gionet Jr., Erika L.C. King y Yixiao Sha [9] complementaron la clasificación hecha por Plummer.

# Capítulo 2

## Preliminares

A través de este trabajo estaremos utilizando conceptos propios de la Teoría de gráficas, en particular, los que enunciamos a continuación.

Una **gráfica**  $G$  es un par ordenado  $(V(G), E(G))$  formado por un conjunto no vacío  $V(G)$ , cuyos elementos son llamados **vértices**, y un conjunto  $E(G)$  de pares no ordenados de vértices llamados **aristas**, es decir  $E(G) \subset \{V(G)\}^2$ . Si  $\{u, v\} \in E(G)$ , lo denotamos simplemente como  $uv \in E(G)$ . Si la gráfica está sobreentendida y no existe confusión, escribimos simplemente  $V$  y  $E$  para  $V(G)$  y  $E(G)$ , respectivamente.

El **orden** de una gráfica es la cardinalidad del conjunto de vértices  $V(G)$  y el **tamaño** es la cardinalidad del conjunto de aristas. Usualmente, denotamos  $|V(G)| = n$  y  $|E(G)| = m$ . Una gráfica es **finita** si tiene un número finito de vértices y aristas.

Decimos que dos vértices  $u$  y  $v$  son **adyacentes** si  $uv \in E(G)$ , que el vértice  $v$  es **incidente** con la arista  $uv$ , y los vértices  $u, v$  son los **extremos** de la arista  $uv$ . Dos aristas son **adyacentes** si tienen un extremo en común y son **paralelas** si tienen los mismos extremos y son distintas. Una arista es un **lazo** si sus extremos son el mismo vértice. Una gráfica es **simple** si no tiene aristas paralelas ni lazos. Una **multigráfica** es una gráfica con aristas paralelas sin lazos, se llama. La **máxima multiplicidad**

en una multigráfica, denotada por  $\mu$ , es el máximo número de aristas que conectan a cualesquiera dos vértices de la gráfica. Una gráfica es **completa** si cualquier par de vértices son adyacentes.

Un **emparejamiento** en una gráfica es un conjunto de aristas que no tienen vértices en común. Si  $M$  es un emparejamiento, los extremos de una arista en  $M$  se dicen **emparejados** por  $M$  y cada vértice incidente con una arista de  $M$  se dice **cubierto** o **saturado** por  $M$ . Un **emparejamiento perfecto** es un emparejamiento que cubre todos los vértices de la gráfica. Dada una gráfica  $G$  que contiene un emparejamiento perfecto y un entero positivo  $k$ , con  $1 \leq k \leq \frac{|V(G)|-2}{2}$ , decimos que  $G$  es  **$k$ -extensible** si cada emparejamiento de tamaño  $k$  se extiende a un emparejamiento perfecto.

El **grado** de un vértice  $v$ , denotado  $d(v)$ , es el número de aristas incidentes con él (un lazo cuenta doble). El **grado mínimo** de una gráfica  $G$ , denotado  $\delta(G)$ , es el mínimo de los grados de los vértices de  $G$ , es decir,  $\delta(G) = \min\{d(v) : v \in V(G)\}$ . El **grado máximo** de  $G$ , denotado  $\Delta(G)$ , es el máximo de los grados de los vértices de  $G$ , es decir,  $\Delta(G) = \max\{d(v) : v \in V(G)\}$ . Si  $\delta(G) = \Delta(G) = r$ , decimos que la gráfica  $G$  es  **$r$ -regular**. Si no existe confusión, escribimos simplemente  $\Delta$  y  $\delta$ .

Una gráfica  $G' = ((V'(G'), E'(G'))$  es una **subgráfica** de la gráfica  $G = (V(G), E(G))$  si  $V(G') \subseteq V(G)$  y  $E(G') \subseteq E(G)$ . Dado  $X \subseteq V(G)$ , la **subgráfica inducida** por  $X$ , denotada por  $G[X]$ , es la gráfica cuyo conjunto de vértices es  $X$  y donde  $uv$  es una arista de  $G[X]$  si y sólo si  $uv$  es una arista de  $G$ . Si  $F \subseteq E(G)$ , nos referimos a la **subgráfica arista-inducida** por  $F$ , denotada por  $G[F]$ , a la subgráfica de  $G$  donde el conjunto de aristas es  $F$  y el conjunto de vértices son los extremos de las aristas en  $F$ . Utilizaremos simplemente subgráfica inducida para referirnos tanto a la gráfica inducida por un conjunto de vértices como por un conjunto de aristas.

Una gráfica que no contiene a  $K_{1,3}$  como subgráfica inducida se llama  **$K_{1,3}$ -libre**, también se llaman (en inglés) **claw-free**.

Para cualquier conjunto de vértices  $X \subseteq V(G)$  de una gráfica  $G$ , denotamos  $G - X$  a la

gráfica inducida  $G[V \setminus X]$ . Si  $U = \{v\}$  es un conjunto unitarios, escribimos  $G - v$  en lugar de  $G - \{v\}$ . Para cualquier conjunto de aristas  $F \subseteq E(G)$ , definimos  $G - F := (V, E \setminus F)$ . Si  $F \subseteq \{V(G)\}^2$ , definimos  $G + F := (V, E \cup F)$ . Si  $F = \{e\}$  es un conjunto unitario, escribimos  $G - e$  y  $G + e$  en lugar de  $G - \{e\}$  y  $G + \{e\}$ , respectivamente.

Para **identificar** dos vértices no adyacentes,  $x, y$ , de una gráfica  $G$ , reemplazamos ambos vértices por sólo un vértice, el cual sea incidente a todas las aristas de  $G$  que lo eran con  $x$  o  $y$ , denotamos  $G/\{x, y\}$  a la gráfica resultante. Para **contraer** una arista  $e$  de una gráfica  $G$ , primero la eliminamos y después identificamos sus extremos, denotamos  $G/e$  a la gráfica resultante.

Un **paseo** en una gráfica  $G$  es una sucesión de vértices  $(v_0, v_1, \dots, v_\ell)$  tal que  $v_{i-1}v_i \in E$  para todo  $i \in \{1, 2, 3, \dots, \ell\}$ . Si el paseo no repite aristas se llama **trayectoria**, y si no repite vértices se llama **camino**. Si un camino comienza en un vértice  $u = v_0$  y termina en un vértice  $v = v_\ell$ , nos referimos a él como un  **$uv$ -camino**. Un paseo **paseo cerrado** es un paseo que comienza en un vértice  $u = v_1$ , termina en un vértice  $v = v_\ell$  y  $u = v$ . Un pase cerrado también se suele llamar **circuito**. Si  $(v_0, \dots, v_\ell)$  es un camino entonces  $(v_0, \dots, v_\ell) \cup v_0v_\ell$  es un **ciclo**. La **longitud** de un paseo, trayectoria, camino o ciclo es su número de aristas.

Dos vértices  $u$  y  $v$  están **conectados** si existe un  $uv$ -camino. Una gráfica es **conexa** si para todo par de vértices  $u$  y  $v$  existe un  $uv$ -camino. Si  $G$  no es conexa, decimos que es **disconexa**. Una **componente** de una gráfica es una subgráfica conexa maximal.

Un **corte de vértices** de una gráfica  $G$  es un subconjunto de vértices  $S \subset V(G)$ , tal que  $G[V(G) \setminus S]$  es disconexa. Una gráfica es  **$k$ -conexa** si para cualquier subconjunto  $S \subseteq V$ , con  $|S| = k$ ,  $G[V(G) \setminus S]$  es conexa. La **conexidad** de una gráfica  $G$ , denotada como  $\kappa(G)$ , es la cardinalidad mínima de un corte de vértices, es decir,  $\kappa(G) = \min\{|S| : S \text{ es un corte de vértices de } G\}$ .

Un **corte de aristas** de  $G$  es un subconjunto de aristas  $F \subset E(G)$ , tal que  $G[E(G) \setminus F]$  es disconexa. Una arista que al ser removida aumenta el número de componentes de  $G$

es llamada **puente**. Una gráfica  $G$  es  $k$ -**arista-conexa** si para cualquier subconjunto  $F \subseteq E(G)$ , con  $|F| = k$ ,  $G[E(G) \setminus F]$  es conexa. La **arista-conexidad** de una gráfica  $G$ , denotada  $\kappa'(G)$ , es la cardinalidad mínima de un corte de aristas, es decir,  $\kappa'(G) = \min\{|F| : F \text{ es un corte de aristas de } G\}$ .

La **arista-conexidad cíclica** de una gráfica  $G$  es el mínimo tomado sobre la cardinalidad de todos los cortes de aristas  $F$  de  $G$  tal que al menos dos componentes de  $G - F$  contienen un ciclo. Denotamos la arista-conexidad cíclica de  $G$  como  $c\lambda(G)$ . Decimos que  $G$  es  $k$ -arista-conexa cíclica para toda  $k \leq c\lambda(G)$ .

Una gráfica es **bipartita** si existen dos conjuntos  $A$  y  $B$  de vértices de  $G$  tales que  $A \cup B = V(G)$ ,  $A \cap B = \emptyset$ , y si  $uv \in E(G)$ , entonces  $u \in A$  y  $v \in B$ , o  $u \in B$  y  $v \in A$ .

Dada una gráfica  $G$ , la **gráfica de línea** de  $G$ , denotada  $L(G)$ , es la gráfica cuyos vértices son las aristas de  $G$ , en donde dos vértices serán adyacentes si y sólo si las aristas correspondientes son adyacentes. La figura 2.1 muestra un ejemplo de ello.

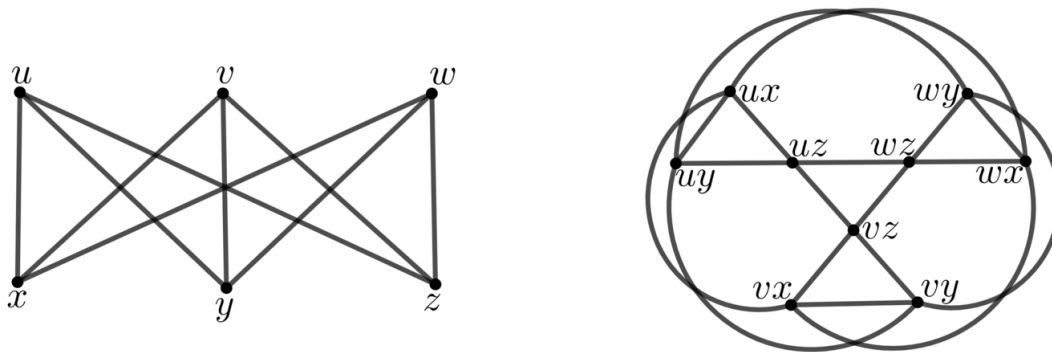


Figura 2.1: A la izquierda la gráfica  $K_{3,3}$ , y a la derecha su gráfica de línea  $L(K_{3,3})$ .

La **gráfica de Harary**  $H_{r,n}$  es una gráfica  $r$ -regular de orden  $n$ , tal que:

- $V(H_{r,n}) = \{v_1, v_2, \dots, v_n\}$ .
- Si  $r$  es par, digamos  $r = 2k$  para algún entero no negativo  $k$ , con  $k \leq \frac{n-1}{2}$ . Para cada  $i$ ,  $1 \leq i \leq n$ ,  $v_i$  es adyacente con  $v_{i+1}, v_{i+2}, \dots, v_{i+k}$  y con  $v_{i-1}, v_{i-2}, \dots, v_{i-k}$ , donde los índices son tomados módulo  $n$ .

- Si  $r$  es impar, digamos  $r = 2k + 1$ , para algún entero no negativo  $k$ , con  $k \leq \frac{n-2}{2}$ . Como  $r$  es impar,  $n$  tiene que ser par, digamos  $n = 2\ell$ . Para cada  $i$ ,  $1 \leq i \leq n$ ,  $v_i$  es adyacente con  $v_{i+1}, v_{i+2}, \dots, v_{i+k}$ , con  $v_{i-1}, v_{i-2}, \dots, v_{i-k}$  y con  $v_{i+\ell}$ , donde los índices son tomados módulo  $n$ .

Una  **$k$ -arista-coloración** (propia) es un mapeo  $c: E(G) \rightarrow \{1, 2, \dots, k\}$  tal que  $c(e) \neq c(f)$ , para cualesquiera  $e, f$  adyacentes. Los números  $1, 2, \dots, k$  se conocen como **colores**. El número mínimo de colores  $k$  requerido para obtener una arista-coloración es llamado **índice cromático**, y es denotado por  $\chi'$ . Al conjunto de aristas de un mismo color se conoce como **clase cromática**. Es fácil ver que cualquier subconjunto de aristas de una clase cromática forma un emparejamiento. Una arista-coloración es **acíclica** si cada ciclo tiene al menos 3 colores, equivalentemente, si la gráfica inducida por cualesquiera dos clases cromáticas es un bosque. El número mínimo de colores requerido para obtener una arista-coloración acíclica es llamado **índice cromático acíclico**, y denotado por  $a'$ . Es sencillo notar que se cumple que  $\Delta \leq \chi' \leq a'$ .

Una  **$k$ -vértice-coloración** (propia) es un mapeo  $c: V(G) \rightarrow \{1, 2, \dots, k\}$  tal que  $c(u) \neq c(v)$ , para cualesquiera  $u, v$  adyacentes. Los números  $1, 2, \dots, k$  se conocen como **colores**. Una gráfica es  **$k$ -vértice-coloreable** si tiene una  $k$ -vértice-coloración. El número mínimo de colores  $k$  requerido para obtener una vértice-coloración es llamado **número cromático**, y es denotado por  $\chi$ .

# Capítulo 3

## Arista-coloración acíclica en gráficas 4-conexas, 4-regulares, $K_{1,3}$ -libres

### 3.1. Gráficas 4-conexas, 4-regulares, $K_{1,3}$ -libres

La familia de las gráficas 4-conexas, 4-regulares  $K_{1,3}$ -libres fue clasificada por Plummer [19]. Posteriormente Gionet Jr., King y Sha [9] complementaron esta clasificación. En esta sección, cuando nos refiramos a una gráfica  $G$ , asumiremos que es 4-conexa 4-regular  $K_{1,3}$ -libre, a menos que se especifique lo contrario. La familia quedó determinada en tres clases de gráficas, denominadas  $\mathcal{G}_0$ ,  $\mathcal{G}_1$  y  $\mathcal{G}_2$ , cuyas características son las siguientes.

$\mathcal{G}_0$ . Una gráfica  $G$  pertenece a  $\mathcal{G}_0$  si contienen a  $K_4$  y, por tanto  $G = K_5$  o el conjunto de vértices  $V(G)$  se puede partir en subconjuntos disjuntos de 4 vértices cada uno, tal que cada subconjunto induce un  $K_4$ , y las aristas que no pertenecen a los  $K_4$  forman un emparejamiento perfecto de  $G$  que los conecta. El orden de cada gráfica en  $\mathcal{G}_0$ , excepto por  $K_5$ , es par. Cada gráfica en  $\mathcal{G}_0$ , excepto  $K_5$  es 2-extensible. La figura 3.1 muestra un ejemplo de una gráfica en la clase  $\mathcal{G}_0$ .

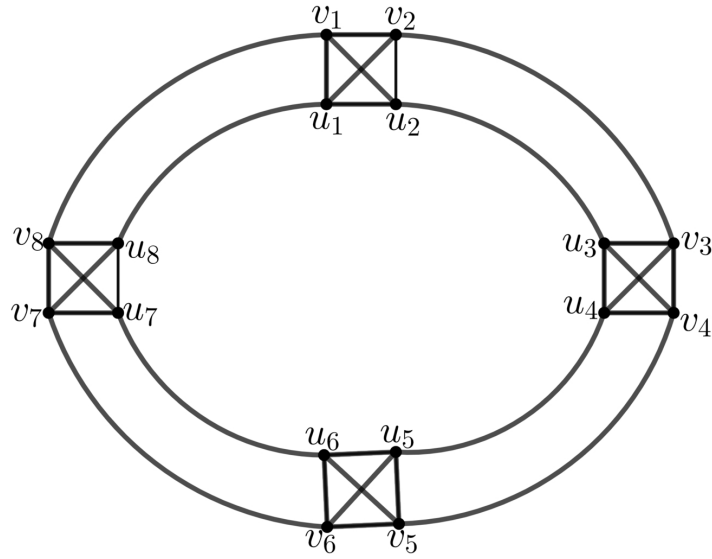


Figura 3.1: Gráfica de la clase  $\mathcal{G}_0$

$\mathcal{G}_1$ . Una gráfica  $G$  pertenece a  $\mathcal{G}_1$  si es una gráfica de Harary,  $H_{4,k}$ , con  $k \geq 6$ . Para  $G \in \mathcal{G}_1$ ,  $K_4$  no es subgráfica de  $G$  y cada vértice está en exactamente tres triángulos. La figura 3.2 muestra un ejemplo de una gráfica en la clase  $\mathcal{G}_1$ .

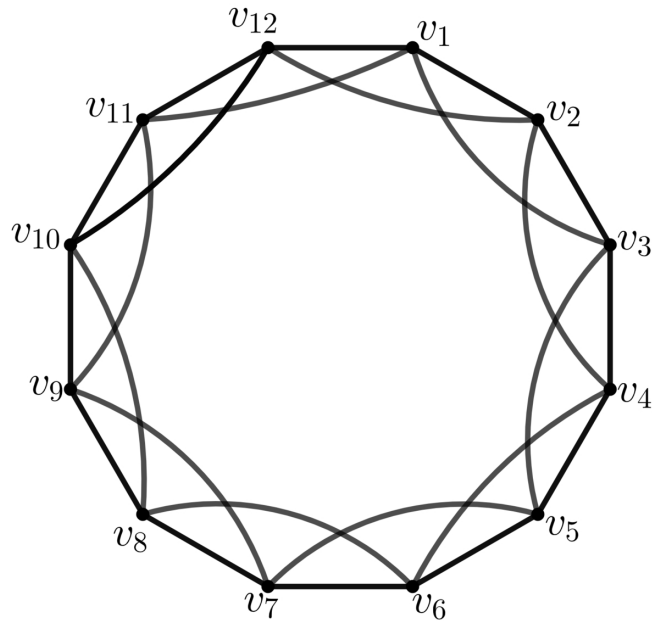


Figura 3.2: Gráfica par de Harary.

$\mathcal{G}_2$ . Una gráfica  $G$  pertenece a  $\mathcal{G}_2$  si  $G = L(H)$ , donde  $H$  es una gráfica cúbica 3-conexa, cíclicamente 4-arista-conexa; o si  $H = K_{3,3}$ . Para  $G \in \mathcal{G}_2$ , cada vértice de

$G$  está en exactamente dos triángulos. La figura 3.3 muestra un ejemplo de una gráfica en la clase  $\mathcal{G}_2$ .

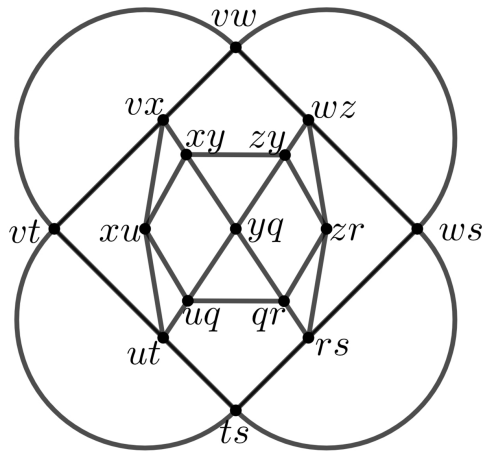


Figura 3.3: Gráfica de línea de  $Y_5$ .

La Figura 3.4 muestra al prisma pentagonal  $Y_5$  que es una gráfica cúbica 3-conexa, cíclicamente 4-arista-conexa y la Figura 3.3 corresponde a su gráfica de línea asociada.

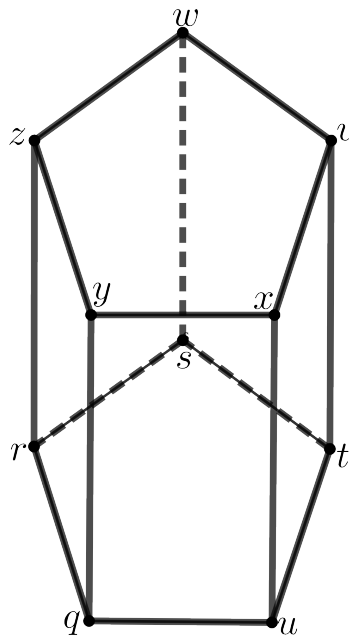


Figura 3.4: El prisma pentagonal  $Y_5$  que es una gráfica cúbica 3-conexa, cíclicamente 4-arista-conexa.

## 3.2. Arista-coloración acíclica

En 1965 Vizing [22, 23] estableció la cota superior del índice cromático en términos del grado máximo y la máxima multiplicidad.

**Teorema 2** (Teorema de Vizing). *Para cualquier multigráfica  $G$ ,  $\chi'(G) \leq \Delta(G) + \mu(G)$ .*

El teorema de Vizing será de utilidad para determinar el índice cromático acíclico de la familia de nuestro interés.

Recordemos que una arista-coloración acíclica de una gráfica  $G$  es una arista-coloración tal que cada uno de sus ciclos no es bicromático. El número mínimo de colores necesarios para obtener una arista-coloración acíclica es llamado índice cromático acíclico y es denotado por  $a'(G)$ . Fue conjeturado por Alon, Sudakov y Zaks [2] que para una gráfica simple  $G$ ,  $a'(G) \leq \Delta(G) + 2$ .

## 3.3. Arista-coloraciones propias acíclicas en gráficas de $\mathcal{G}_0$

Recordemos que una gráfica  $G$  pertenece a  $\mathcal{G}_0$  si contienen a  $K_4$  y, por tanto  $G = K_5$  o el conjunto de vértices  $V(G)$  se puede partir en subconjuntos disjuntos de 4 vértices cada uno, tal que cada subconjunto induce un  $K_4$ , y las aristas que no pertenecen a los  $K_4$  forman un emparejamiento perfecto de  $G$  que los conecta. Empezaremos por encontrar una 6-arista-coloración acíclica para las gráficas de esta familia. Posteriormente abordaremos una subclase donde encontraremos una 5-arista-coloración propia acíclica.

**Proposición 3.** *El índice cromático acíclico de  $K_4$  es 5; es decir*

$$a'(K_4) = 5.$$

*Demostración.* Llamemos  $v_1, v_2, u_1$  y  $u_2$  a los vértices de  $K_4$ . Sin pérdida de generalidad comenzamos coloreando las aristas incidentes con  $v_1$ , tal que  $v_1u_1$  es verde,  $v_1u_2$  es morado y  $v_1v_2$  es amarillo. Por lo cual la única opción para  $v_2u_1$  es ser de color morado. Resulta que  $v_2u_2$  es de color verde y observamos que el ciclo  $v_1u_1v_2u_2$  es bicolorado y por lo tanto no existe una 3-arista-coloración acíclica para  $K_4$ . El resultado lo podemos ver en la Figura 3.5.

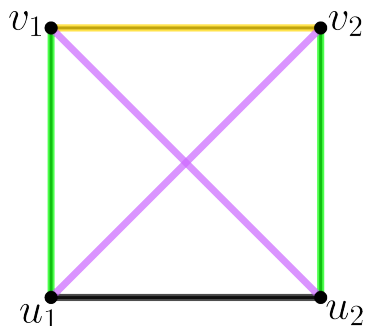


Figura 3.5: No es posible una 3–arista-coloración acíclica.

Por lo cual la arista  $u_1v_2$  debe ser del cuarto color que en este caso es azul. Resulta que la arista  $v_2u_2$  solo puede ser de color verde y la arista  $u_1u_2$  solo puede ser de color amarillo y obtenemos que el ciclo  $v_1v_2u_2u_1v_1$  es bicolorado. El resultado lo podemos ver en la Figura 3.6.

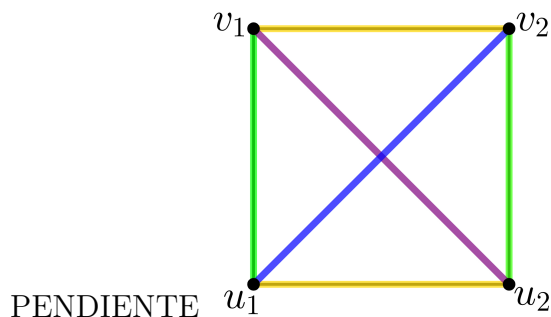


Figura 3.6: No es posible una 3–arista-coloración acíclica.

Y por lo tanto no existe una 4-arista-coloración acíclica de  $K_4$ .

Procederemos a encontrar una 5-arista-coloración propia para el  $K_4$  de la siguiente manera:

- Coloreamos las arista  $u_1v_2$  y  $v_1u_2$  de color morado.
- Coloreamos la arista  $v_1v_2$  de amarillo.
- Coloreamos la arista  $v_2u_2$  de rojo.
- Coloreamos la arista  $u_1u_2$  de azul.
- Coloreamos la arista  $v_1u_1$  de verde.

El resultado lo podemos ver en la Figura 3.7.

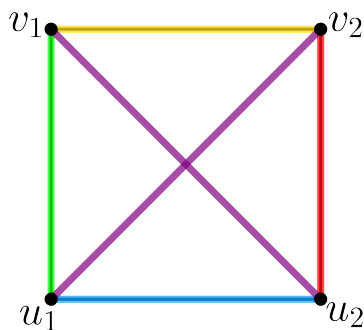


Figura 3.7: Una 5-arista-coloración propia acíclica de  $K_4$ .

□

Primeramente encontraremos una arista-coloración acíclica para una subclase de  $\mathcal{G}_0$ . Sea  $\mathcal{G}_0^c$  la subclase de  $\mathcal{G}_0$  que consiste de las gráficas que se parten en  $s$   $K_4$  disjuntos, digamos  $K_4^1, \dots, K_4^s$ , denotamos a los vértices de  $K_4^i$ , ( $i \in \{1, \dots, s\}$ ) como  $u_{2i-1}$ ,  $u_{2i}$ ,  $v_{2i-1}$  y  $v_{2i}$  y las aristas de los emparejamientos que enlazan a los  $K_4$  son  $v_{2j}v_{2j+1}$ ,  $u_{2j}u_{2j+1}$ ,  $j = \{1, \dots, s-1, s\}$ , con los índices módulo  $2s$ . (Ver Figura 3.8)

**Teorema 4.** *Las gráficas de la subclase  $\mathcal{G}_0^c$  tienen una 5-arista-coloración acíclica.*

*Demostración.* Sea  $G$  una gráfica de la subclase  $\mathcal{G}_0^c$

Para obtener una 5-arista-coloración acíclica:

- Coloreamos las aristas  $v_{2i-1}u_{2i}$  y  $v_{2i}u_{2i-1}$  de color morado,  $i = 1, \dots, s$ .

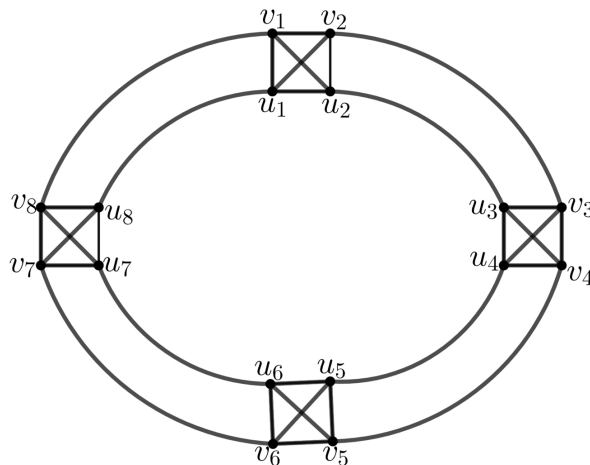


Figura 3.8: Gráfica de la subclase  $\mathcal{G}_0^c$ .

- Coloreamos las aristas  $v_{2i-1}v_{2i}$  de color amarillo,  $i = 1, \dots, s$ .
- Coloreamos las aristas  $u_{2i}u_{2i+1}$  de color amarillo,  $i = 1, \dots, s - 1$ .
- Coloreamos la arista  $u_{2s}u_1$  de color naranja.
- Coloreamos las aristas  $u_{2i-1}u_{2i}$  de color azul, a excepción de la arista  $u_{2(s-1)}u_{2(s-1)-1}$ , la cual será de color verde.
- Coloreamos las aristas  $v_{2i}u_{2i}$  de color naranja,  $i = 1, \dots, s - 1$  y a arista  $v_{2s}u_{2s}$  de color verde.
- Coloreamos las aristas  $v_{2i-1}u_{2i-1}$  de color verde,  $i = 1, \dots, s - 2$
- Coloreamos la arista  $v_{2(s-1)-1}u_{2(s-1)-1}$  de color azul
- Coloreamos la arista  $v_{2s-1}u_{2s-1}$  de color naranja.
- Coloreamos las aristas  $v_{2i}v_{2i+1}$  de color azul,  $i = 1, \dots, s$ , exceptuando la arista  $v_{2(s-2)}v_{2(s-2)+1}$  que será de color verde.

Un ejemplo se puede observar en la Figura 3.9.

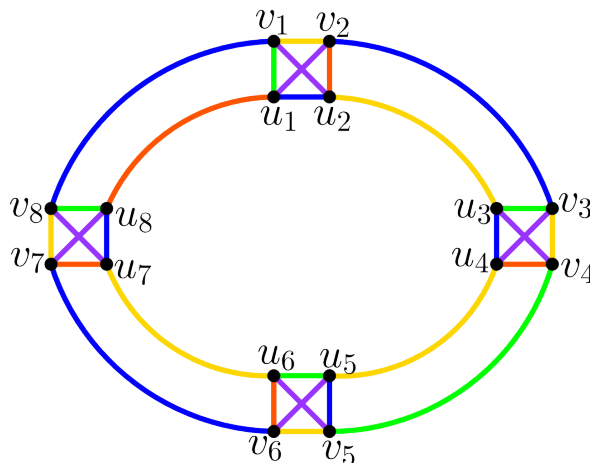


Figura 3.9: Una 5-arista-coloración acíclica en una gráfica de  $\mathcal{G}_0^c$ .

Por la Proposición 3, sabemos que  $a'(K_4) = 5$  y como tal fueron empleados cinco colores en la arista-coloración propuesta.

Los únicos posibles ciclos bicolorados serían aquellos que recorren varios  $K_4$ . Claramente, el ciclo «exterior»  $v_1 v_2 \dots v_{2s}$  y el ciclo «interior»  $u_1 u_2 \dots u_{2s}$  no son bicolorados. Observemos que cada  $K_4$  recibe aristas de 3 colores diferentes, en particular, hay dos aristas con el mismo color. Analicemos los posibles ciclos bicolorados de acuerdo con el número de arista de un  $K_4$  que emplean.

- Si el ciclo usa solo una arista de un  $K_4$ , entonces deberá entrar y salir por las aristas del mismo color que llegan a él. En este caso, tendría que ser un ciclo azul-amarillo o amarillo-verde, pero en cualquier caso, no es posible completar dicho ciclo bicolorado.
- Si el ciclo usa dos aristas de un  $K_4$ , entrando y saliendo por dos aristas del ciclo exterior o del ciclo interior, dicho ciclo tendrá al menos tres colores. También es fácil ver que si entra por una arista del ciclo interior y sale por una del ciclo exterior, dicho ciclo tendrá al menos tres colores.
- Si el ciclo usa tres aristas de un  $K_4$ , entonces deberá usar las aristas moradas, en cuyo caso tampoco es posible completar el ciclo usando solo dos colores.

- Finalmente, notemos que el ciclo no puede utilizar cuatro o más aristas de  $K_4$ .

Por lo tanto, la arista-coloración propuesta es acíclica.  $\square$

Sea  $G$  una gráfica de la clase  $\mathcal{G}_0$ , que no es  $K_5$ . Enumeramos los  $K_4$  en que se parten los vértices de  $G$ , como  $K_4^1, \dots, K_4^s$  y tal que los vértices de  $K_4^i$  son  $v_{4i-3}, v_{4i-2}, v_{4i-1}$  y  $v_{4i}$ , para  $i \in \{1, \dots, s\}$ . (Ver Figura 3.10).

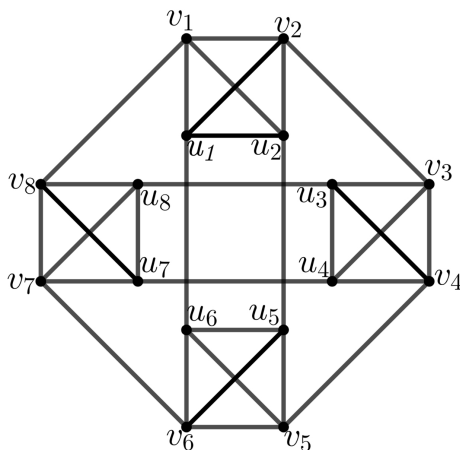


Figura 3.10: Una gráfica de la clase  $\mathcal{G}_0$

**Proposición 5.** *Sea  $G \in \mathcal{G}_0$  y  $G'$  la gráfica que resulta de contraer todas las aristas que pertenecen a cada uno de  $K_4^1, \dots, K_4^s$ . Entonces  $G'$  es una gráfica 4-regular y  $\mu(G') \leq 2$ , excepto si  $s = 2$ .*

*Demostración.* Dado que los  $K_4$  están conectados entre sí con un emparejamiento perfecto, al contraer las aristas de los  $K_4$ , la gráfica resultante  $G'$  es 4-regular, puesto que cada  $K_4$  es incidente con otras 4 aristas. (Ver figura 3.11). Claramente  $\mu(G') \leq 2$ . Nos referiremos a los  $K_4^i$  como los vértices de  $G'$ .

Si  $s = 2$ , al contraer las aristas de los dos  $K_4$ ,  $G'$  consistiría de dos vértices con 4 aristas entre sí. En ese caso  $\mu(G') = 4$  y  $\chi'(G') = 4$ .

Asumamos que  $s \geq 3$ . Sea  $x_i$  el vértice de  $G'$  que resulta de la contracción de las aristas de  $K_4^i$ . Como consideramos que  $G$  es conexa,  $\mu(G') < 4$ . Si  $\mu(G') = 3$ , entonces existen

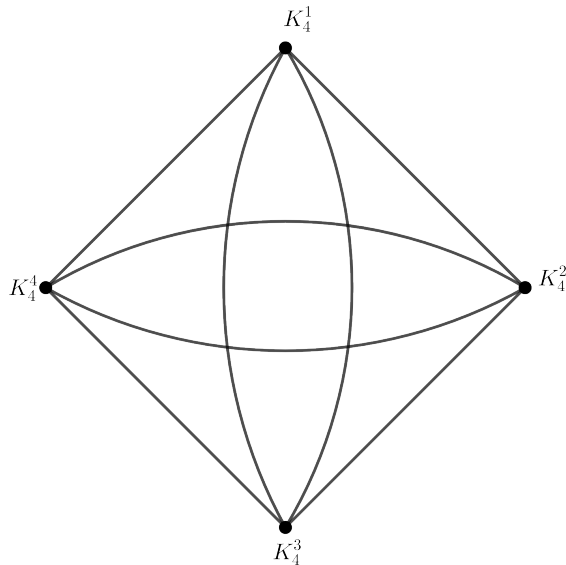


Figura 3.11: Contracción de las aristas de los  $K_4$ 's en los que se parte una gráfica en  $\mathcal{G}_0$

dos  $K_4$ , digamos  $K_4^r$  y  $K_4^t$ , conectados por tres aristas. Como  $G$  es 4-regular,  $K_4^r$  y  $K_4^t$  son adyacentes con solo algún otro  $K_4$ , con el que cada uno comparte solamente una arista. Por lo tanto, los vértices de los  $K_4$  con los que  $K_4^r$  y  $K_4^t$  comparten una arista son un 2-corte de  $G$ , contradiciendo que  $G$  es 4-conexa. Por lo tanto,  $\mu(G') \leq 2$ .  $\square$

**Lema 6.** *Sea  $G \in \mathcal{G}_0$  y  $G'$  la gráfica que resulta de contraer todas las aristas que pertenecen a cada uno de  $K_4^1, \dots, K_4^s$ . Entonces  $\chi'(G') \leq 6$ .*

*Demostración.* Como  $\Delta(G') = 4$  y, por la Proposición 5,  $\mu(G') \leq 2$ , tenemos, del Teorema de Vizing 2, que  $\chi'(G') \leq 6$ .  $\square$

**Teorema 7.** *Sea  $G \in \mathcal{G}_0$  y  $G'$  la gráfica que resulta de contraer todas las aristas que pertenecen a cada uno de  $K_4^1, \dots, K_4^s$ . Entonces, una 6-arista-coloración acíclica de  $G'$  se puede extender a una 6-arista-coloración acíclica de  $G$ .*

*Demostración.* Por el Lema 6, la gráfica  $G'$  tiene una 6-arista-coloración, digamos con los colores  $\{0, 1, 2, 3, 4, 5\}$ .

En la gráfica  $G$ , para los vértices de  $K_4^i$  supongamos que:

- $v_{4i}$  es incidente con una arista de color color  $c_0$ ,
- $v_{4i-1}$  es incidente con una arista de color color  $c_1$ ,
- $v_{4i-2}$  es incidente con una arista de color color  $c_2$ , y
- $v_{4i-3}$  es incidente con una arista de color color  $c_3$ ,

donde  $c_0, c_1, c_2, c_3 \in \{0, 1, 2, 3, 4, 5\}$  y son todos distintos entre sí.

Coloreamos la arista  $v_{4i}v_{4i-1}$  de color  $c_2$ , la arista  $v_{4i-1}v_{4i-2}$  de color  $c_3$ , la arista  $v_{4i-2}v_{4i-3}$  de color  $c_0$ , la arista  $v_{4i}v_{4i-3}$  de color  $c_1$ , y finalmente las aristas  $v_{4i-1}v_{4i-3}$  y  $v_{4i}v_{4i-2}$  de color  $c_4$ , donde  $c_4 \in \{0, 1, 2, 3, 4, 5\} \setminus \{c_0, c_1, c_2, c_3\}$ . De esta manera evitamos los ciclos bicolorados en los  $K_4^i$ , y en la gráfica  $G$ . Un ejemplo se puede ver en la Figura 3.12.

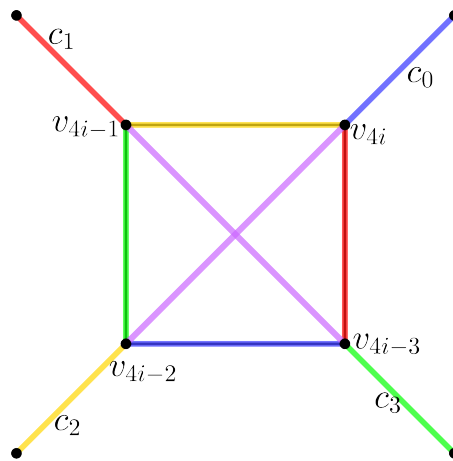


Figura 3.12: Coloración de  $K_4$ , donde  $c_0 =$  azul  $c_1 =$  rojo,  $c_2 =$  amarillo,  $c_3 =$  verde y  $c_4 =$  morado.

□

### 3.4. Arista-coloraciones propias acíclicas en gráficas de $\mathcal{G}_1$

Recordemos que la familia  $\mathcal{G}_1$  corresponde a las gráficas de Harary. En particular, será conveniente la siguiente expresión para las gráficas de Harary de orden par. Para una gráfica de Harary de orden  $2n$ , denotamos sus vértices  $(v_1, v_2, \dots, v_n, u_1, u_2, \dots, u_n)$  y las aristas corresponden a los ciclos  $C_1 := v_1v_2v_3 \cdots v_nv_1$ ,  $C_2 := u_1u_2u_3 \cdots u_nu_1$  y  $C_3 := u_1v_1u_2v_2 \cdots u_nv_nu_1$ .

**Proposición 8.** *Una gráfica de Harary par  $H_{r,2n}$  no tiene una 4-arista-coloración acíclica.*

*Demostración.* Sea  $G$  una gráfica de Harary de orden par con vértices  $u_1, u_2, \dots, u_n, v_1, v_2, \dots, v_n$ . Sin pérdida de generalidad, podemos asumir que las aristas incidentes con el vértice  $v_1$ , están coloreadas  $v_1u_1$  de amarillo,  $v_1u_2$  de azul,  $v_1v_2$  de verde y  $v_1v_n$  de rojo, como se observa en la Figura 3.13.

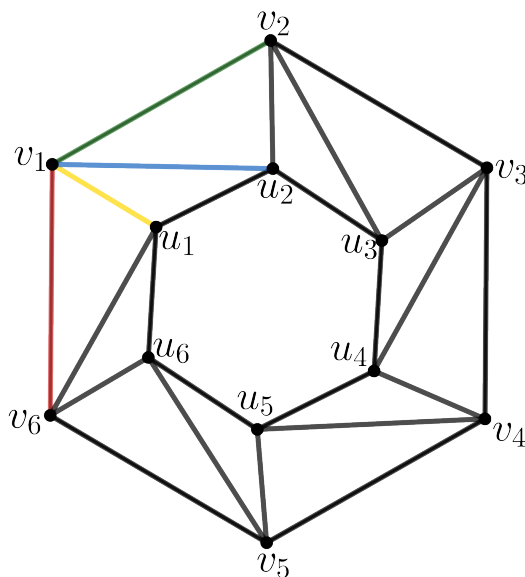


Figura 3.13: Gráfica de orden par de Harary.

La arista  $v_2u_2$  es adyacente a la arista verde  $v_1v_2$  y a la arista azul  $v_1u_2$ , por lo tanto

hay dos opciones:

**Caso 1.** La arista  $v_2u_2$  es coloreada de amarillo. (Ver Figura 3.14).

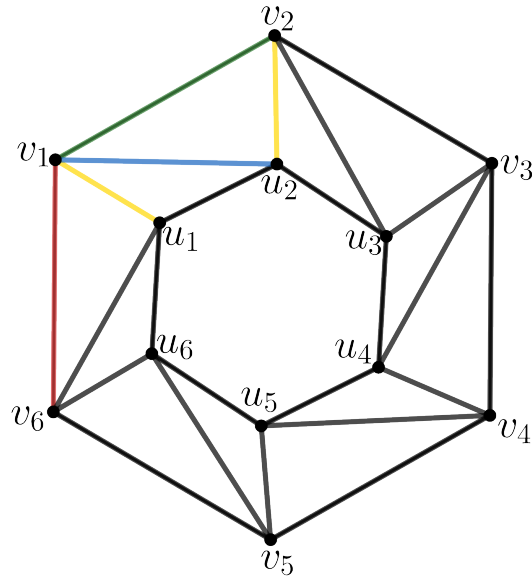


Figura 3.14: La arista  $v_2u_2$  es coloreada de amarillo.

En este caso la arista  $u_1u_2$  tiene 2 opciones para ser coloreada: rojo o verde. Si la arista  $u_1u_2$  fuese verde, el ciclo  $v_1v_2u_2u_1v_1$  sería 2-coloreado, por lo tanto la arista  $u_1u_2$  deber ser de color rojo. Observamos que para la arista  $u_2u_3$  solo queda la opción del color verde, porque es adyacente a  $u_1u_2$ ,  $v_1u_2$ ,  $v_2u_2$ , las cuales son de color rojo, azul y amarillo, respectivamente.

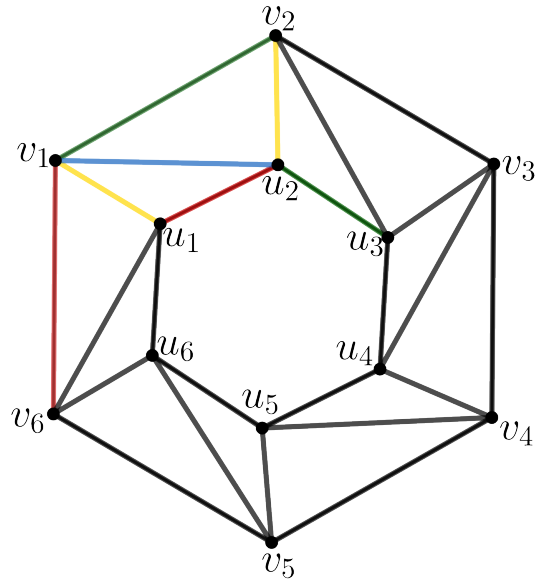


Figura 3.15: Siguiete paso en la coloración de la gráfica par de Harary.

Para la arista  $v_2u_3$  hay dos opciones: azul o rojo. Si la arista  $v_2u_3$  fuese azul, el ciclo  $v_1v_2u_3u_2$  sería 2-coloreado, por lo tanto la única opción es que la arista  $v_2u_3$  sea de color rojo, y, consecuentemente, la arista  $v_2v_3$  tendría que ser de color azul.

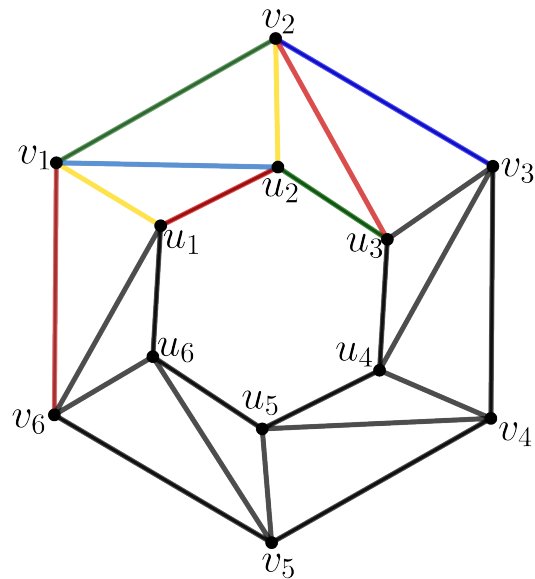


Figura 3.16: Siguiete paso de la coloración de una gráfica par de Harary.

La arista  $v_3u_3$  solo puede ser colorada de amarillo, ya que es adyacente a  $u_2u_3$  que es

verde, a  $v_2u_3$  que es roja y a  $v_2v_3$  que es azul. La arista  $u_3u_4$  solo puede ser de color azul, porque es adyacente a  $u_2u_3$  que es verde, a  $v_2u_3$  de color rojo y a  $v_3u_3$  que es de color amarillo.

Para la arista  $v_3u_4$  hay dos opciones: rojo o verde. Si  $v_3u_4$  fuese rojo, el ciclo  $v_2v_3u_4u_3$  sería 2-coloreado, por lo tanto  $v_3u_4$  debe ser de color verde, como podemos observar en la Figura 3.17. Sin embargo, se produce el ciclo 2-coloreado  $v_1v_2v_3u_4u_3u_2v_1$ .

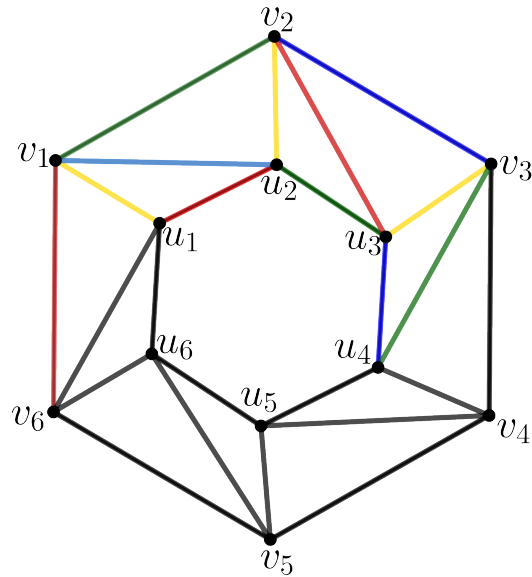


Figura 3.17: Obtención de un ciclo bicolorado.

**Caso 2.** La arista  $v_2u_2$  es coloreada de rojo, como se puede ver en la Figura 3.18.

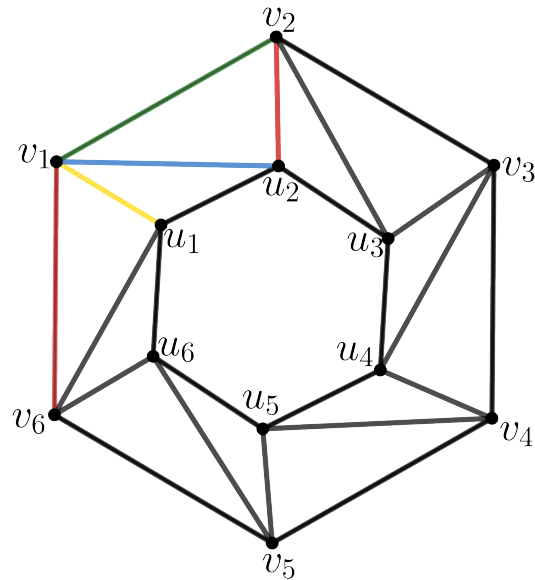


Figura 3.18: La arista  $v_2u_2$  es coloreada de rojo.

En este caso la arista  $u_1u_2$  solo puede ser coloreada de verde, puesto que es adyacente a la amarilla  $v_1u_1$ , a la azul  $v_1u_2$  y a la roja  $v_2u_2$ . La arista  $u_2u_3$  solo puede ser coloreada de amarillo ya que es adyacente a la verde  $u_1u_2$ , a la azul  $v_1u_2$  y a la roja  $v_2u_2$ .

La arista  $v_2u_3$  solo puede ser de color azul, puesto que es adyacente a la amarilla  $u_2u_3$ , a la roja  $v_2u_2$  de color rojo y a la verde  $v_1v_2$ .

La arista  $v_2v_3$  solo puede ser de color amarillo porque es adyacente a la verde  $v_1v_2$ , a la roja  $v_2u_2$  y a la azul  $v_2u_3$ .

Para colorear  $v_3u_3$  hay dos posibilidades: rojo o verde. Si la arista  $v_3u_3$  fuese rojo, el ciclo  $v_2u_2u_3v_3v_2$  sería 2-coloreado, por lo tanto la única opción es que  $v_3u_3$  sea de color verde. Sin embargo, notamos que el ciclo  $v_1v_2v_3u_3u_2u_1$  es 2-coloreado, como se puede ver en la Figura 3.19.

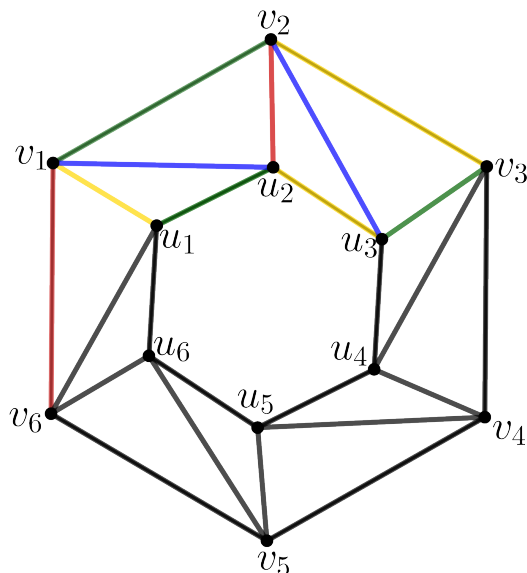


Figura 3.19: Obtención de un ciclo bicolorado.

Entonces, podemos concluir que producir una 4-arista-coloración acíclica no es factible.

□

**Teorema 9.** *El índice cromático acíclico de las gráficas de Harary de orden par  $2n$ , con  $n \geq 4$ , es 5.*

*Demostración.* Las gráficas de Harary de orden par  $2n$  tienen una descomposición en tres ciclos, a los que denominaremos  $C_1 = v_1v_2 \cdots v_n$ ,  $C_2 = u_1u_2 \cdots u_n$  y  $C_3 = u_1v_1u_2v_2 \cdots u_nv_n$ .

- Para las aristas del ciclo  $C_1$ , la arista  $v_1v_2$  será de color morado, y las demás aristas serán coloreadas de manera alternante amarillo y azul; de manera que  $v_2v_3$  es amarilla,  $v_3v_4$  es azul,  $v_4v_5$  es amarilla, y así sucesivamente hasta la arista  $v_nv_1$ .
- Para las aristas del ciclo  $C_2$ , la arista  $u_1u_2$  será de color morado, y las demás aristas serán coloreadas de manera alternante amarillo y azul; de manera que

$u_2u_3$  es amarilla,  $u_3u_4$  es azul,  $u_4u_5$  es amarilla, y así sucesivamente hasta la arista  $u_nu_1$ . (Ver la Figura 3.20).

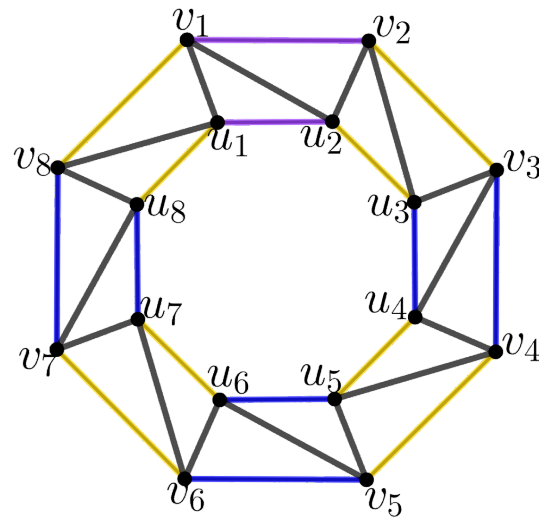


Figura 3.20: Ciclo  $C_1$  y  $C_2$  coloreados.

- Para las aristas del ciclo  $C_3$ , la arista  $v_1u_1$  debe ser del mismo color que  $u_3u_4$ , en este caso, de color azul. Coloreamos  $v_1u_2$  de rojo,  $u_2v_2$  de verde, y  $v_2u_3$  de rojo,  $u_3v_3$  será morado,  $v_3u_4$  verde,  $u_4v_4$  rojo,  $v_4u_5$  morado, y así sucesivamente, como se puede observar en la Figura 3.21

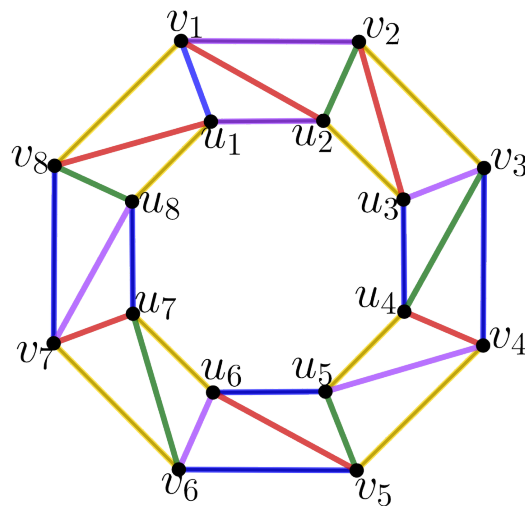


Figura 3.21: Arista-coloración acíclica.

En nuestra coloración es fácil ver que los ciclos  $C_1$ ,  $C_2$  y  $C_3$  no son bicolorados, puesto

que precisamente se eligieron 3 colores para cada uno de ellos. Observamos que un ciclo que alterna entre aristas de  $C_1$  y  $C_2$  utiliza al menos dos aristas de  $C_3$  y por lo tanto tiene por lo menos 3 colores.  $\square$

**Proposición 10.** *Una gráfica de Harary impar  $H_{r,n}$  no tiene una 4-arista-coloración acíclica.*

*Demostración.* Sea  $G$  una gráfica de Harary de orden impar con vértices  $v_1, v_2, \dots, v_{2n+1}$ . Sin pérdida de generalidad, podemos asumir que las aristas incidentes con el vértice  $v_1$ , están coloreadas  $v_1v_2$  de amarillo,  $v_1v_{2n+1}$  de morado,  $v_1v_{2n}$  de verde y  $v_1v_3$  de rojo, como se observa en la Figura 3.22.

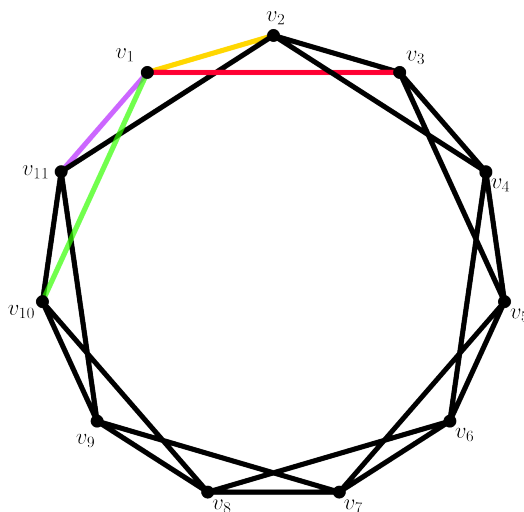


Figura 3.22: Coloración de gráfica impar de Harary.

Entonces, para  $v_{2n+1}v_2$  hay dos opciones:

- $v_{2n+1}v_2$  es verde.
- $v_{2n+1}v_2$  es roja.

Supongamos que  $v_{2n+1}v_2$  es verde, en consecuencia  $v_2v_3$  debe ser morada,  $v_2v_4$  es roja,  $v_3v_4$  es verde (si fuese amarilla el ciclo  $v_1v_2v_4v_3v_1$  sería bicolorado),  $v_3v_5$  es amarilla,  $v_4v_5$  es morada,  $v_4v_6$  es amarilla  $v_5v_6$  es roja (si fuese verde el ciclo  $v_3v_4v_6v_5v_3$  sería

bicoloreado),  $v_5v_7$  es verde, por lo tanto,  $v_6v_7$  es morada. Continuando de esta manera, podemos observar que las aristas  $v_{2i}v_{2i+1}$  son moradas, en particular  $v_{2n+2}v_{2n+3} = v_1v_2$  es morada, lo que contradice que era de color amarillo.

Podemos ver un ejemplo en la Figura 3.23.

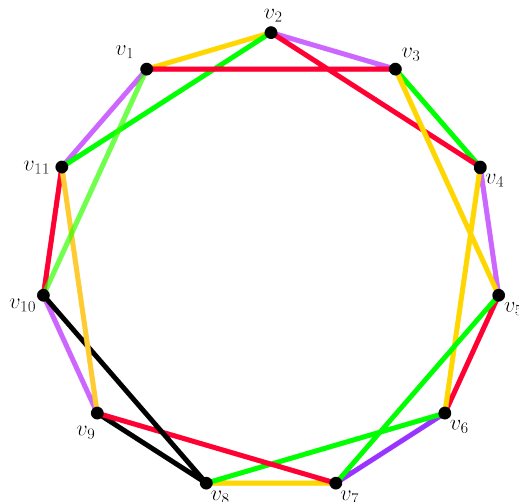


Figura 3.23: Ejemplo de coloración de gráfica impar de Harary.

Supongamos que  $v_{2n+1}v_2$  es roja,  $v_2v_3$  debe ser verde (si fuese morada, el ciclo  $v_1v_3v_2v_{2n+1}v_1$  sería bicoloreado),  $v_2v_4$  debe ser morada,  $v_3v_4$  debe ser amarilla,  $v_3v_5$  debe ser morada,  $v_4v_5$  es roja (si fuese verde el ciclo  $v_2v_4v_5v_3v_2$  sería bicoloreado),  $v_4v_6$  es verde,  $v_4v_6$  es amarilla, Continuando de esta manera, podemos observar que las aristas  $v_{2i-1}v_{2i}$  son amarillas, en particular  $v_{2n+1}v_1$  es amarilla, lo que contradice que  $v_{2n+1}v_1$  era de color morado. Podemos ver un ejemplo en la Figura 3.24.

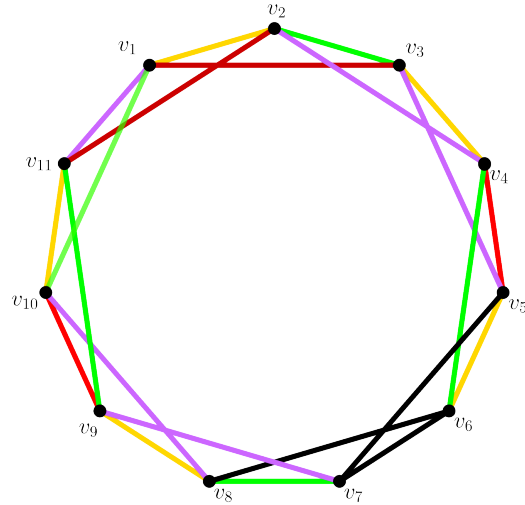


Figura 3.24: Ejemplo de arista-coloración acíclica en una gráfica de Harary de orden impar.

Por lo tanto no existe una 4–arista coloración acíclica. □

**Teorema 11.** *Las gráficas de Harary  $H_{4,2n+1}$  de orden impar, tienen una 5-arista-coloración acíclica.*

*Demostración.* Primeramente descomponemos la gráfica de Harary de orden impar  $G$  en dos ciclos impares (Ver Figura 3.25).

1.  $C_1$  definido por  $v_1v_2v_3 \cdots v_{2n}v_{2n+1}v_1$ , y
2.  $C_2$  definido por  $v_1v_3v_5 \cdots v_{2n-1}v_{2n+1}v_2v_4 \cdots v_{2n}v_1$ .

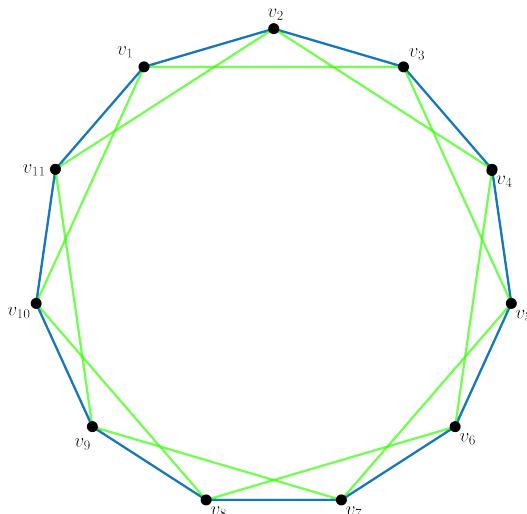


Figura 3.25: Descomposición de  $H_{4,2n+1}$  en los ciclos impares  $C_1$  en azul y  $C_2$  en verde.

Consideraremos dos casos:  $2n + 1 \equiv 1 \pmod{4}$  y  $2n + 1 \equiv 3 \pmod{4}$ .

**Caso 1.**  $2n + 1 \equiv 1 \pmod{4}$ .

Empezaremos por colorear el ciclo  $C_2$ . La arista  $v_1v_3$  es de color verde. Las aristas restantes de  $C_2$  se colorean de manera alternante con azul y rojo; es decir, la arista  $v_3v_5$  será azul, la arista  $v_5v_7$  rojo, la arista  $v_7v_9$  será azul y así hasta completar el ciclo. Claramente, este ciclo tiene 3 colores.

Para el ciclo  $C_1$ , primero coloreamos todas las aristas que sean adyacentes a la arista de  $v_1v_3$  de tal manera que la arista  $v_1v_2$  será de color morado, la arista  $v_{2n+1}v_1$  de color amarillo, la arista  $v_2v_3$  será de color amarillo,  $v_3v_4$  será de color morado y las aristas  $v_{2n}v_{2n+1}$  y  $v_4v_5$  serán de color verde. Luego, las aristas  $v_5v_6, v_7v_8, v_9v_{10}, \dots, v_{2n-1}v_{2n}$  son de color amarillo. De las  $n - 3$  restantes, coloreamos  $v_6v_7, v_{10}v_{11}, \dots, v_{2n-2}v_{2n-1}$  de morado;  $v_8v_9, v_{12}v_{13}, \dots, v_{2n-4}v_{2n-3}$  de verde. Un ejemplo de este caso lo podemos observar en la Figura 3.26.

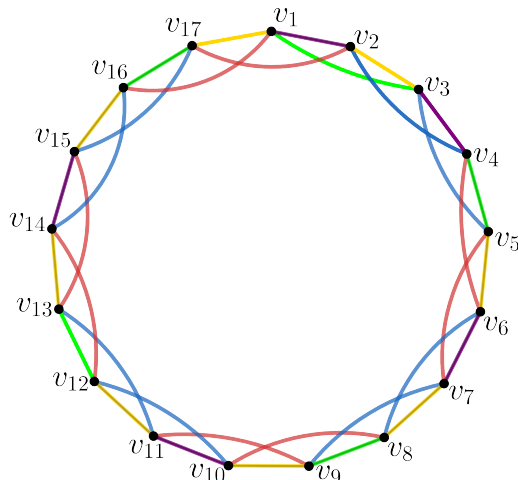


Figura 3.26: Ejemplo de arista-coloración acíclica en una gráfica de Harary de orden impar.

**Caso 2.**  $n \equiv 3 \pmod{4}$ .

Empezaremos por colorear el ciclo  $C_2$ . La arista  $v_2v_4$  es verde. Las aristas restantes de  $C_2$  se colorean de manera alternante con azul y rojo, es decir, la arista  $v_4v_6$  será azul, la arista  $v_6v_8$  rojo, la arista  $v_8v_{10}$  será azul y así hasta completar el ciclo. Claramente, este ciclo tiene 3 colores.

Para el ciclo  $C_1$  primero coloreamos todas las aristas que sean adyacentes a  $v_2v_4$  de tal manera que la arista  $v_1v_2$  es amarilla,  $v_2v_3$  es morada, la arista  $v_3v_4$  será de color amarillo,  $v_4v_5$  será de color morado. La arista  $v_{2n+1}v_1$  será morada,  $v_5v_6$  será amarilla, después las aristas  $v_{2n}v_{2n+1}$  y  $v_6v_7$  serán de color verde.

Luego, las aristas  $v_7v_8, v_9v_{10}, v_{11}v_{12} \dots v_{2n-1}v_{2n}$  son de color amarillo. De las  $n-4$  restantes, coloreamos  $v_8v_9, v_{12}v_{13}, \dots, v_{2n-2}v_{2n-1}$  de color morado;  $v_{10}v_{11}, v_{14}v_{15}, \dots, v_{2n-4}v_{2n-3}$  de verde. Un ejemplo de este caso lo podemos observar en la Figura 3.27.

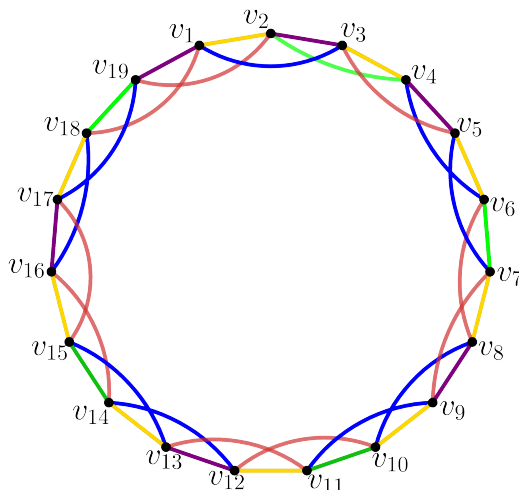


Figura 3.27: Ejemplo 5-arista-coloración propia acíclica en gráfica de  $\mathcal{G}_1$

Hemos encontrado una 5-arista-coloración propia acíclica,

No hay ciclos bicolorados por construcción. Claramente los ciclos  $C_1$  y  $C_2$  no son bicolorados. Cualquier ciclo que utilice aristas tanto de  $C_1$  como de  $C_2$ , en particular utilizará una arista de  $C_1$ , digamos morada, por lo cual utilizará todas las moradas, que se encuentran de forma alternante en  $C_1$  (sabemos que éstas están separadas por una arista de otro color) hasta completar un ciclo, pero no puede completarse para ser bicolorado porque  $C_1$  es impar.

□

### 3.5. Arista-coloraciones propias acíclicas en gráficas de $\mathcal{G}_2$

**Proposición 12.** *La gráfica de línea de  $K_{3,3}$  no tiene una 4-arista coloración acíclica.*

*Demostración.* Debido a que la gráfica es vértice transitiva, sin pérdida de generalidad, podemos asumir que las aristas incidentes con el vértice  $wy$ , están coloreadas  $wy$   $vy$  de

amarillo,  $wyuy$  de rojo,  $wy wz$  de verde y  $wy wx$  de morado, como se observa en la Figura 3.28.

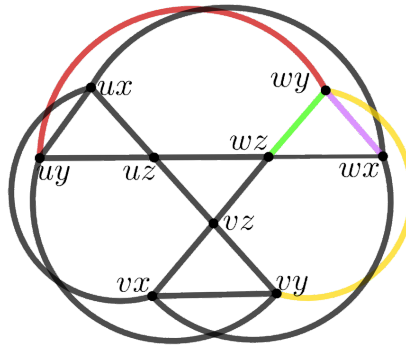


Figura 3.28: Coloración de la gráfica de línea de  $K_{3,3}$ .

Obtenemos dos casos:  $wz wx$  es de color roja o de color amarilla.

**Caso 1.**  $wz wx$  es roja.

entonces,  $uz wz$  tiene dos opciones:  $uz wz$  es amarilla, o  $uz wz$  es morada.

**1.1**  $uz wz$  es amarilla.

Luego,  $vz wz$  debe ser morada. Entonces,  $vz uz$  tiene dos opciones:  $vz uz$  es verde, o  $vz uz$  es roja.

**1.1.1**  $vz uz$  es verde.

Luego,  $uy uz$  debe ser morada,  $vz vy$  debe ser roja. Entonces,  $ux uz$  debe ser roja,  $vx vz$  debe ser amarilla. Por lo tanto,  $vx wx$  debe ser verde, pero  $ux wx$  también debe ser de color verde puesto que si fuese amarilla, el ciclo  $ux wx wz uz ux$  sería bicolorado, como se puede observar en la Figura 3.29.

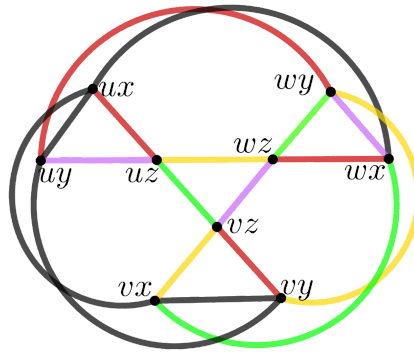


Figura 3.29: Coloración de la gráfica de línea cuando la arista  $uz-wz$  es amarilla.

**1.1.2**  $vz-vy$  es roja.

Luego,  $vz-vy$  debe ser verde. Entonces,  $vx-vz$  es amarilla. Después  $uy-uz$  debe ser verde, puesto que si fuese morada, el ciclo  $uz-uy-wy-wx-wz-vz-uz$  sería bicolorado. Por lo tanto  $ux-uz$  debe ser morada, resulta que  $ux-wx$  debe ser verde, así mismo,  $vx-wx$  debe ser verde, entonces no se puede colorear, como se puede observar en la Figura 3.30.

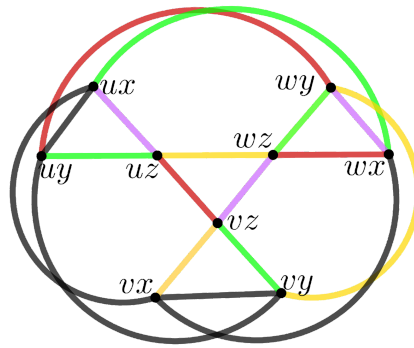


Figura 3.30: Coloración de la gráfica de línea cuando la arista  $vz-uz$  es roja.

**1.2**  $uz-wz$  es morada.

Luego,  $vz-wz$  debe ser amarilla, pero  $vz-uz$  tiene dos opciones:  $vz-uz$  es verde o  $vz-uz$  es roja.

**1.2.1**  $vz-uz$  es verde.

Luego,  $uyuz$  debe ser amarilla. Entonces,  $uxuz$  debe ser roja. En consecuencia,  $uxuy$  debe ser verde, si fuese morada, el ciclo  $uyuxuzwzwxwyuy$  sería bicolorado. Por lo cual,  $uxwx$  debe ser amarilla. Resulta que  $wxvx$  debe ser verde y  $uyvy$  debe ser morada. Observamos que  $vxvz$  y  $vxvy$  deben ser de color rojo, por lo cual no se pueden colorear, como se puede observar en la Figura 3.31.

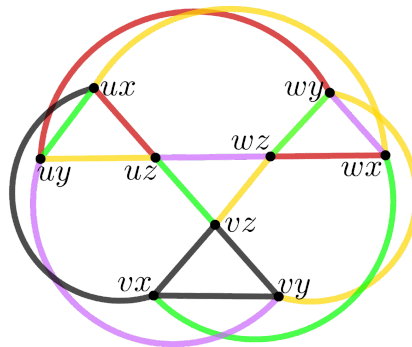


Figura 3.31: Gráfica de línea con aristas que no se pueden colorear.

**1.2.2**  $vzuz$  es roja.

Luego,  $vzvy$  debe ser morada, si fuese verde, el ciclo  $vzwxwyvyvz$  sería bicolorado. Entonces,  $vzvx$  debe ser verde, y también  $uyvy$  debe ser verde. Resulta que  $uyuz$  debe ser amarilla y  $vxvy$  debe ser roja. Por lo cual  $vxwx$  debe ser amarilla y  $uxuz$  debe ser verde. Observamos que  $uxwx$  al igual que  $vxwx$  no se pueden colorear, como se puede observar en la Figura 3.32.

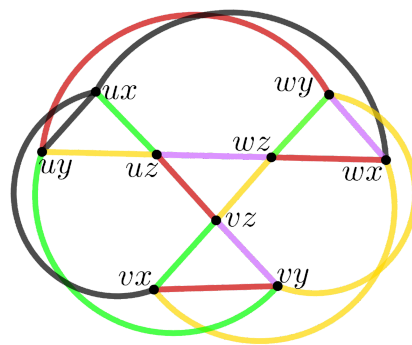


Figura 3.32: Caso cuando  $vzuz$  es roja.



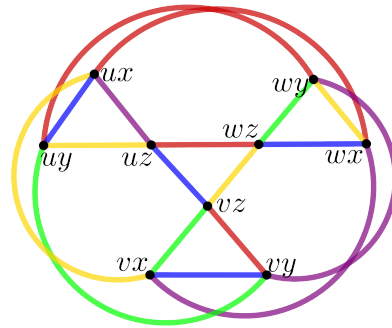


Figura 3.34: Una 5-arista-coloración acíclica en la gráfica  $L(K_{3,3})$ .

□

Para finalizar, daremos una coloración para la gráfica línea del prisma pentagonal. Ver Figura 3.35.

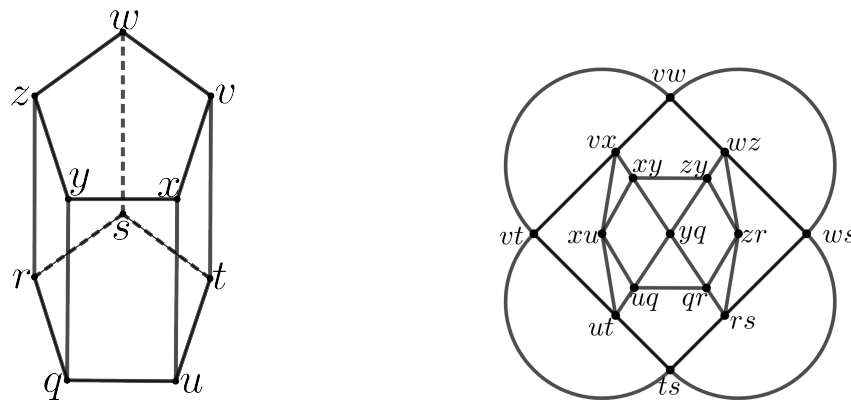


Figura 3.35: La gráfica  $Y_5$  a la izquierda y a la derecha su gráfica de línea.

**Teorema 14.** *La gráfica de línea de  $Y_5$  (prisma pentagonal) tiene una 5-arista-coloración acíclica.*

*Demostración.* Coloreamos:

1. De color rojo las aristas  $vt vw, vx xu, yq qr, xy zy, ut uq, zr rs$  y  $ts ws$ .
2. De color verde las aristas  $vx vw, wz ws, zy zr, xy yq, xu ut$  y  $ts rs$ .
3. De color azul las aristas  $vw ws, wz zr, qr rs, uq yq, vt vx, ut ts$  y  $vt vx$ .

4. De color amarillo las aristas  $vt\ ut$ ,  $uq\ qr$ ,  $rs\ ws$ ,  $yq\ zy$  y  $vw\ wz$ .
5. De color morado las aristas  $vt\ ts$ ,  $xu\ uq$ ,  $zy\ wz$ ,  $vx\ xy$  y  $qr\ zr$ .

En la figura 3.36 podemos verificar fácilmente que la 5-arista-coloración es acíclica.

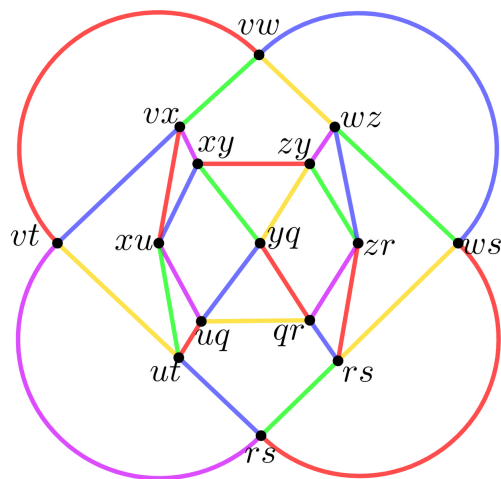


Figura 3.36: Una 5-arista-coloración acíclica en la gráfica  $L(Y_5)$ .

□

# Bibliografía

- [1] Noga Alon, Colin McDiarmid, and Bruce Reed. Acyclic coloring of graphs. *Random Structures Algorithms*, 2(3):277–288, 1991.
- [2] Noga Alon, Benny Sudakov, and Ayal Zaks. Acyclic edge colorings of graphs. *J. Graph Theory*, 37(3):157–167, 2001.
- [3] Manu Basavaraju and L. Sunil Chandran. Acyclic edge coloring of graphs with maximum degree 4. *J. Graph Theory*, 61(3):192–209, 2009.
- [4] Meriem Bensouyed, Nousseiba Guidoum, and Djamel Eddine Saidouni. Strict strong graph coloring: Algorithms and applications. 09 2015.
- [5] Yuriy Brun. The four color theorem. *MIT UJM*, pages 21–28, May 2002.
- [6] Louis Esperet and Aline Parreau. Acyclic edge-coloring using entropy compression. *European J. Combin.*, 34(6):1019–1027, 2013.
- [7] Iosif Fiamčík. The acyclic chromatic class of a graph. *Math. Slovaca*, 28(2):139–145, 1978.
- [8] Jerzy A. Filar, Michael Haythorpe, and Richard Taylor. Linearly-growing reductions of karp’s 21 np-complete problems. *Numer. Algebra Control Optim.*, 8(1):1–16, 2018.

- [9] Trevor J. Gionet, Jr., Erika L. C. King, and Yixiao Sha. A revision and extension of results on 4-regular, 4-connected, claw-free graphs. *Discrete Appl. Math.*, 159(12):1225–1230, 2011.
- [10] Ioannis Giotis, Lefteris Kirousis, Kostas I. Psaromiligkos, and Dimitrios M. Thilikos. Acyclic edge coloring through the Lovász local lemma. *Theoret. Comput. Sci.*, 665:40–50, 2017.
- [11] Mate Glaudić, Jelena Beban-Brkić, and Dražen Tutić. Graph colouring and its application within cartography. *KoG*, 20:99–114, 2016.
- [12] Ian Holyer. The NP-completeness of edge-coloring. *SIAM J. Comput.*, 10(4):718–720, 1981.
- [13] Daniel Johnston. *Edge Colorings of Graphs and Their Applications*. ProQuest LLC, Ann Arbor, MI, 2015. Thesis (Ph.D.)–Western Michigan University.
- [14] Richard M. Karp. Reducibility among combinatorial problems. In *Complexity of computer computations (Proc. Sympos., IBM Thomas J. Watson Res. Center, Yorktown Heights, N.Y., 1972)*, pages 85–103, 1972.
- [15] Henry A. Kierstead and James H. Schmerl. Some applications of Vizing’s theorem to vertex colorings of graphs. *Discrete Math.*, 45(2-3):277–285, 1983.
- [16] Michael Molloy and Bruce Reed. Further algorithmic aspects of the local lemma. In *STOC ’98 (Dallas, TX)*, pages 524–529. ACM, New York, 1999.
- [17] Sokol Ndreca, Aldo Procacci, and Benedetto Scoppola. Improved bounds on coloring of graphs. *European J. Combin.*, 33(4):592–609, 2012.
- [18] Michael D. Plummer. A note on Hamilton cycles in claw-free graphs. In *Proceedings of the Twenty-fourth Southeastern International Conference on Combinatorics, Graph Theory, and Computing (Boca Raton, FL, 1993)*, volume 96, pages 113–122, 1993.

- [19] Michael D. Plummer. 2-extendability in two classes of claw-free graphs. In *Graph theory, combinatorics, and algorithms, Vol. 1, 2 (Kalamazoo, MI, 1992)*, Wiley-Intersci. Publ., pages 905–922. Wiley, New York, 1995.
- [20] Claude E. Shannon. A theorem on coloring the lines of a network. *J. Math. Physics*, 28:148–151, 1949.
- [21] Qiaojun Shu, Yiqiao Wang, Yulai Ma, and Weifan Wang. Acyclic edge coloring of 4-regular graphs without 3-cycles. *Bull. Malays. Math. Sci. Soc.*, 42(1):285–296, 2019.
- [22] V. G. Vizing. On an estimate of the chromatic class of a  $p$ -graph. *Diskret. Analiz*, (3):25–30, 1964.
- [23] V. G. Vizing. The chromatic class of a multigraph. *Kibernetika (Kiev)*, 1965(3):29–39, 1965.
- [24] Juan Wang, Lianying Miao, Wenyao Song, and Yunlong Liu. Acyclic coloring of graphs with maximum degree 7. *Graphs and Combinatorics*, 37(2):455–469, 2021.
- [25] Weifan Wang, Yulai Ma, Qiaojun Shu, and Yiqiao Wang. Acyclic Edge Coloring of 4-Regular Graphs (II). *Bull. Malays. Math. Sci. Soc.*, 42(5):2047–2054, 2019.